

# Моделирование трехмерной конвекции в мантии Земли с применением неявного метода слабой сжимаемости\*

В. В. ЧЕРВОВ

*Учреждение Российской академии наук*

*Институт нефтегазовой геологии и геофизики*

*им. А.А. Трофимука СО РАН, Новосибирск, Россия*

e-mail: elixirexp@yandex.ru

Представлены результаты трехмерного моделирования конвекции в мантии Земли. Численная модель основана на применении неявного метода слабой сжимаемости.

*Ключевые слова:* тепловая конвекция в мантии Земли, метод искусственной сжимаемости, численное моделирование.

## Введение

В настоящей работе продолжено тестирование задачи конвекции, предложенной в [1]. В работах [2–6] с использованием переменных “вектор завихренности — векторный потенциал метода дробных шагов и последовательности сеток” продемонстрировано хорошее согласие с результатами [1]. В [7] численное решение модельной задачи трехмерной теплогравитационной конвекции осуществлялось с использованием неявного метода расщепления по физическим процессам. Достаточно хорошо известным при решении задач гидродинамики несжимаемых жидкостей является метод слабой сжимаемости [8–11]. В настоящей работе с применением метода слабой сжимаемости получены результаты, не уступающие по точности результатам работ [1–7].

## 1. Математическая постановка задачи

Для описания течений в верхней мантии Земли привлекается хорошо известная математическая модель, включающая в себя безразмерные уравнения [12]:

$$\nabla \cdot \mathbf{v} = 0, \quad (1)$$

$$\frac{\partial p}{\partial x_i} = \frac{\partial}{\partial x_k} \eta \left( \frac{\partial v_i}{\partial x_k} + \frac{\partial v_k}{\partial x_i} \right) + \text{Ra} \cdot T \cdot e_i, \quad (2)$$

$$\frac{\partial T}{\partial t} + \mathbf{v} \cdot \nabla T = \nabla^2 T. \quad (3)$$

---

\*Работа выполнена при финансовой поддержке СО РАН (интеграционные проекты № 116 и № 44) и Российского фонда фундаментальных исследований (грант № 08-05-00276-а).

© ИВТ СО РАН, 2009.

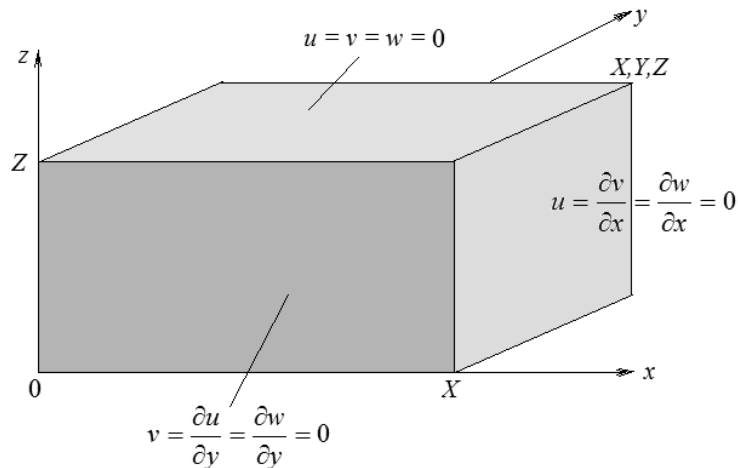


Рис. 1. Граничные условия для вектора скорости в параллелепипеде: на вертикальных гранях — условия проскальзывания; на горизонтальных плоскостях — условия прилипания

Здесь  $p$  — давление,  $T$  — температура,  $t$  — время,  $Ra = \frac{\alpha \rho g_z d^3 \Delta T}{\eta_0 \chi}$  — число Рэлея,  $\mathbf{v} = (u, v, w)$  — вектор скорости,  $\mathbf{e} = (0, 0, 1)$ ,  $g_z$  — ускорение силы тяжести,  $d$  — вертикальный размер конвектирующей области,  $\Delta T = T_{\max} - T_{\min}$ ,  $\chi$  — коэффициент температуропроводности,  $\alpha$  — коэффициент теплового расширения,  $\rho$ ,  $\eta$  — характерные плотность и динамическая вязкость.

Размерные значения (в системе СИ), которые были использованы в [1] и в настоящей работе, принимались следующими:  $d = 2.7 \cdot 10^6$  м,  $\Delta T = 3700$  °С,  $\chi = 10^{-6}$  м<sup>2</sup>/с,  $\alpha = 10^{-5}$  °С,  $\rho = 3300$  кг/м<sup>3</sup>,  $g_z = 10$  м/с<sup>2</sup>.

Простейшей областью интегрирования является параллелепипед  $[0 : X], [0 : Y][0 : Z]$ . Для вектора скорости на боковых гранях задаются условия проскальзывания, а на нижней и верхней гранях — условия прилипания (рис. 1):

- на поверхностях  $x = 0$ ;  $x = X$  ( $0 \leq y \leq Y, 0 \leq z \leq 1$ ):  $u = \partial v / \partial x = \partial w / \partial x = 0$ ;
- на поверхностях  $y = 0$ ;  $y = Y$  ( $0 \leq x \leq X, 0 \leq z \leq 1$ ):  $\partial u / \partial y = v = \partial w / \partial y = 0$ ;
- на поверхностях  $z = 0$ ;  $z = 1$  ( $0 \leq x \leq X, 0 \leq y \leq Y$ ):  $u = v = w = 0$ .

Для температуры, как и в [1], на боковых гранях ставятся условия теплоизоляции (адиабатическая стенка), т. е. первые производные по нормали на вертикальных стенках равны нулю. На верхней и нижней гранях ставятся условия Дирихле: нулевая температура на верхней и некоторая фиксированная температура (в безразмерных уравнениях равная единице) на нижней:

- на поверхностях  $x = 0$ ;  $x = X$  ( $0 \leq y \leq Y, 0 \leq z \leq 1$ ):  $\partial T / \partial x = 0$ ;
- на поверхностях  $y = 0$ ;  $y = Y$  ( $0 \leq x \leq X, 0 \leq z \leq 1$ ):  $\partial T / \partial y = 0$ ;
- на поверхности  $z = 0$  ( $0 \leq x \leq X, 0 \leq y \leq Y$ ):  $T = 1$ ;
- на поверхности  $z = 1$  ( $0 \leq x \leq X, 0 \leq y \leq Y$ ):  $T = 0$ .

Система уравнений (1)–(3) устроена так [13], что в начальный момент времени  $t = t_0$  задаются начальные условия лишь для температуры. В качестве начального распределения температуры, как и в [1], выбиралось следующее:

$$T(x, y, z, t) = T_0(x, y, z) = (1 - z) + 0.2(\cos(\pi x / X) + \cos(\pi y / Y))\sin(\pi z).$$

## 2. Численная модель трехмерных течений в естественных переменных, основанная на методе слабой сжимаемости

Как уже отмечалось выше, хорошо известным подходом к решению задач гидродинамики вязкой несжимаемой жидкости является метод искусственной сжимаемости. Для построения численной модели в случае естественных переменных применялся метод установления с использованием неявной схемы искусственной сжимаемости [8–11, 14] и метода дробных шагов [14]:

$$\frac{\partial p}{\partial \tau} + c^2 \operatorname{div}(\mathbf{v}^{n+1}) = 0, \quad (4)$$

$$\left(\frac{\partial v_i}{\partial \tau}\right)^{n+1} + \left(\frac{\partial p}{\partial x_i}\right)^{n+1} = \frac{\partial}{\partial x_k} \eta \left(\frac{\partial v_i}{\partial x_k} + \frac{\partial v_k}{\partial x_i}\right)^{n+1} + \operatorname{Ra} \cdot T^n \cdot e_i, \quad (5)$$

$$\frac{\partial T}{\partial t} + \nabla(\mathbf{v}^{n+1} \cdot T) = \nabla^2 T. \quad (6)$$

Параметр  $\tau$  является общим итерационным параметром для уравнений (4) и (5);  $c^2$  и  $\tau$  играют роль релаксационных параметров. Параметры  $c$  и  $\tau$  выбирались из условия устойчивости, предложенного в [15]:  $\tau < \min(\Delta x, \Delta y, \Delta z)/c$ .

Для задачи тестирования с переменной вязкостью результаты получены при  $c^2 = 219$ .

Численная реализация (4)–(6) включает в себя следующие этапы.

1. В исследуемой области задается начальное распределение температуры, удовлетворяющее граничным условиям. Компоненты скорости полагаются нулевыми.

2. Из векторного уравнения (5) находится поле скорости  $\mathbf{v}^{n+1}$ ; при этом  $p^{n+1}$  определяется из (4) и подставляется в (5).

3. После вычисления всех компонент скорости следует расчет давления из (4):

$$p^{n+1} = p^n - \tau c^2 (L_1 u^{n+1} + L_2 v^{n+1} + L_3 w^{n+1}). \quad (7)$$

4. Путем решения (6) вычисляется поле температуры.

Процесс повторяется до некоторого значения

$$t_N = N \cdot \Delta t.$$

Для реализации (5) использовалась схема стабилизирующей поправки. Для вектора скорости, на примере  $x$ -компоненты  $u$ , схема выглядит так:

$$\frac{u^{n+1/3} - u^n}{\tau} = L_{11} u^{n+1/3} + L_{22} u^n + L_{33} u^n + L_{21} v^n + L_{31} w^n - L_1 p^n, \quad (8)$$

$$\frac{u^{n+2/3} - u^{n+1/3}}{\tau} = L_{22} (u^{n+2/3} - u^n), \quad (9)$$

$$\frac{u^{n+1} - u^{n+2/3}}{\tau} = L_{33} (u^{n+1} - u^n). \quad (10)$$

В (7)–(10) использованы стандартные аппроксимации [16]:

$$L_1 = \frac{\partial}{\partial x}; \quad L_2 = \frac{\partial}{\partial y}; \quad L_3 = \frac{\partial}{\partial z}; \quad L_{11} = 2\frac{\partial}{\partial x}\eta\frac{\partial}{\partial x}; \quad L_{22} = 2\frac{\partial}{\partial y}\eta\frac{\partial}{\partial y}; \quad L_{33} = 2\frac{\partial}{\partial z}\eta\frac{\partial}{\partial z};$$

$$L_{21} = \frac{\partial}{\partial y}\eta\frac{\partial}{\partial x}; \quad L_{31} = \frac{\partial}{\partial z}\eta\frac{\partial}{\partial x}.$$

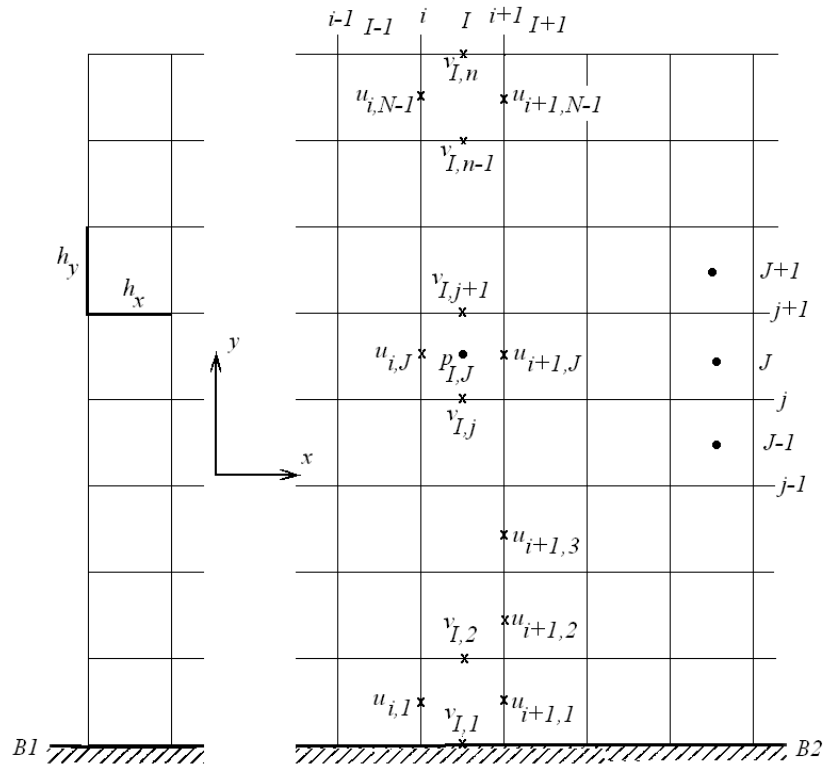


Рис. 2. Двумерная разнесенная сетка

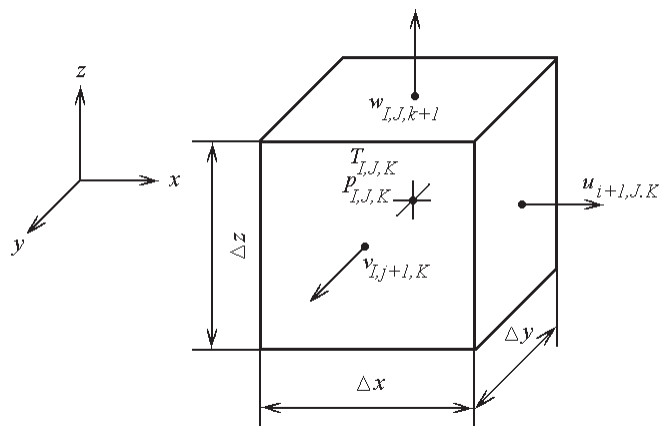


Рис. 3. Сеточный шаблон: в центре ячейки, кроме давления и температуры, вычисляется и вязкость  $\eta_{L,J,K}$

Для  $v$  и  $w$  конечно-разностное представление аналогично (8)–(10).

В задаче использовались как разнесенная, так и неразнесенная сетки. На разнесенной сетке давление, вязкость и температура определялись в центре элементарного объема, компоненты вектора скорости — в центрах плоскостей ячеек:  $u$  — в центре плоскости  $y0z$ ,  $v$  — в центре плоскости  $x0z$ ,  $w$  — в центре плоскости  $x0y$ . На рис. 2 для простоты и наглядности изображена двумерная разнесенная сетка, сеточный трехмерный шаблон представлен на рис. 3.

### 3. Результаты расчетов

Тестирование численной модели осуществлялось решением модельной задачи [1]. Решение для переменной вязкости отыскивалось в единичном кубе ( $X = Y = Z = 1$ ).

При этом задавались следующие параметры: масштабный множитель при вязкости  $\eta_0 = 1.20165 \cdot 10^{24}$ ;  $\eta(T) = \exp[\theta/(T + \Theta) - \theta/(0.5 + \Theta)]$ ;  $\theta = 225/\ln(r) - 0.25 \ln(r)$ ;  $\Theta = 15/\ln(r) - 0.5$ ;  $r = \eta|_{T=0} / \eta|_{T=1} = 20$ ;  $Ra = 20\,000$ .

Для решения задачи вводилась равномерная в каждом направлении сетка. Вычислялись следующие параметры:

(i) среднеквадратичная скорость:

$$v_{rms} = \sqrt{\frac{1}{XYZ} \iiint_A (u^2 + v^2 + w^2) dx dy dz},$$

где  $A$  — объем параллелепипеда со сторонами  $X, Y$  и  $Z$ ;

(ii) число Нуссельта ( $Nu$ ) по формуле [17]:

$$Nu = -(XY)^{-1} \iint_{S_{top}} \frac{\partial T}{\partial z} dx dy,$$

где  $S_{top}$  — верхняя поверхность параллелепипеда;

(iii) значение вертикальной компоненты скорости  $w$  и температуры  $T$  в угловых точках среднего сечения конвективного слоя;

(iv) средняя температура:

$$T_m = \iint_{S_{top}} T dx dy,$$

вычисляемая на горизонтальных сечениях области  $S_{z=0.75}$  и  $S_{z=0.50}$ , на глубинах  $z = 0.75$  и  $z = 0.50$ ;

(v) значения  $z_1$  — отклонения свободной поверхности Земли от геоида в угловых точках верхней поверхности куба.

Интегралы вычислялись с применением квадратурной формулы трапеций.

Результаты расчетов автора (Che) сопоставлены с данными У. Кристенсена (Chr) как наиболее полными из имеющихся в статье [1] и представлены в табл. 1 и 2. Согласие достаточно хорошее. Изложенный выше алгоритм был с успехом применен к решению модельной задачи о протекании мантийной жидкости [7].

Т а б л и ц а 1. Переменная вязкость. Разнесенная сетка. Естественные переменные. Искусственная сжимаемость

№ п/п	Параметр	Сетка 32 × 32 × 64		Err, %
		Chr	Che	
1	Nu	3.03927	2.99409	1.51
2	$v_{rms}$	35.132	35.159	0.08
3	$w(0, 0, 1/2)$	165.91	165.967	0.04
4	$w(0, Y, 1/2)$	-26.72	-26.977	0.95
5	$w(X, Y, 1/2)$	-58.23	-58.755	0.89
6	$T(0, 0, 1/2)$	0.90529	0.9052	0.01
7	$T(0, Y, 1/2)$	0.49565	0.4955	0.02
8	$T(X, Y, 1/2)$	0.23925	0.2388	0.20
9	$T_m(3/4)$	0.56593	0.5654	0.09
10	$T_m(1/2)$	0.58158	0.5890	1.26
11	$z_1(0, 0, 1/2)$	10869.0	10389.0	4.62
12	$z_1(0, Y, 1/2)$	-4145.00	-4271.0	2.95
13	$z_1(X, Y, 1/2)$	-12811.0	-12761.6	0.39

Т а б л и ц а 2. Переменная вязкость. Неразнесенная сетка. Естественные переменные. Искусственная сжимаемость

№ п/п	Параметр	Сетка 32 × 32 × 64		Err, %
		Chr	Che	
1	Nu	3.03927	3.04469	0.18
2	$v_{rms}$	35.132	35.0888	0.12
3	$w(0, 0, 1/2)$	165.91	165.170	0.44
4	$w(0, Y, 1/2)$	-26.72	-26.601	0.45
5	$w(X, Y, 1/2)$	-58.23	-58.523	0.50
6	$T(0, 0, 1/2)$	0.90529	0.9062	0.11
7	$T(0, Y, 1/2)$	0.49565	0.4996	0.80
8	$T(X, Y, 1/2)$	0.23925	0.2409	0.70
9	$T_m(3/4)$	0.56593	0.5649	0.17
10	$T_m(1/2)$	0.58158	0.5831	0.26
11	$z_1(0,0,1/2)$	10869.0	11070.8	1.82
12	$z_1(0,Y,1/2)$	-4145.00	-4230.92	2.03
13	$z_1(X,Y,1/2)$	-12811.0	-13035.0	1.72

Относительная ошибка вычислялась по формуле:

$$Err = \left| \frac{Che - Chr}{Chr} \right| \cdot 100 \%$$

## Заключение

Основные результаты работы сводятся к следующему. Построена трехмерная численная модель конвекции в мантии Земли, основанная на методе слабой сжимаемости. Продемонстрирована ее достаточно высокая эффективность.

Автор выражает благодарность профессору, д-ру физ.-мат. наук Геннадию Георгиевичу Черных за помощь при постановке задачи и постоянное внимание к работе.

## Список литературы

- [1] BUSSE F.H., CHRISTENSEN U., CLEVER R. ET AL. 3D Convection at infinite Prandtl number in cartesian geometry — a benchmark comparison // *Geophys. Astrophys. Fluid Dynamics*. 1993. Vol. 75. P. 39–59.
- [2] ЧЕРВОВ В.В. Численное моделирование трехмерных задач конвекции в мантии Земли с применением завихренности и векторного потенциала // *Вычисл. технологии*. 2002. Т. 7, № 1. С. 114–125.
- [3] ЧЕРВОВ В.В. Численное моделирование трехмерных задач конвекции в мантии Земли с применением последовательности сеток // *Вычисл. технологии*. 2002. Т. 7, № 3. С. 85–92.
- [4] ТЫЧКОВ С.А., ЧЕРВОВ В.В., ЧЕРНЫХ Г.Г. О численном моделировании тепловой конвекции в мантии Земли // *Докл. РАН*. 2005. Т. 402, № 2. С. 248–254.
- [5] ТУШКОВ S.A., CHERVOV V.V., CHERNYKH G.G. Numerical modeling of 3D convection in the Earth mantle // *Russ. J. Numer. Anal. Modell*. 2005. Vol. 20, N. 5. P. 483–500.
- [6] ТЫЧКОВ С.А., ЧЕРВОВ В.В., ЧЕРНЫХ Г.Г. Численная модель трехмерной конвекции в верхней мантии Земли // *Физика Земли*. 2005. № 5. С. 48–64.
- [7] ЧЕРВОВ В.В. Моделирование трехмерной конвекции в мантии Земли с применением неявного метода расщепления по физическим процессам // *Вычисл. технологии*. 2006. Т. 11, № 4. С. 73–86.
- [8] ВЛАДИМИРОВА Н.Н., КУЗНЕЦОВ Б.Г., ЯНЕНКО Н.Н. Численный расчет симметричного обтекания пластинки плоским потоком несжимаемой жидкости // *Некоторые вопросы прикладной и вычислительной математики*. Новосибирск, 1966. С. 186–192.
- [9] ПЕЙРЕ Р., ТЕЙЛОР Т.Д. Вычислительные методы в задачах механики жидкости. Л.: Гидрометеиздат, 1986.
- [10] ФЛЕТЧЕР К. Вычислительные методы в динамике жидкостей: М.: Мир, 1991. Т. 1, 2.
- [11] ЧЕРНЫЙ С.Г., ЧИРКОВ Д.В., ЛАПИН В.Н. и др. Численное моделирование течений в турбомашинах. Новосибирск: Наука, 2006. 202 с.
- [12] ДОБРЕЦОВ Н.Л., КИРДЯШКИН А.Г. Глубинная геодинамика. Новосибирск: НИЦ ОИГГМ СО РАН, 1994.
- [13] ФЕДОРЮК М.В. Характеристики течений несжимаемой жидкости в гравитационном поле / *Матем. сб.* 1988. Т. 137(179), № 4(12). С. 483–499.
- [14] ЯНЕНКО Н.Н. Метод дробных шагов решения многомерных задач математической физики. Новосибирск: Наука. Сиб. отд-ние, 1967.
- [15] ТАРУНИН Е.Л. Вычислительный эксперимент в задачах свободной конвекции. Иркутск: Изд-во ИГУ, 1990.
- [16] САМАРСКИЙ А.А. Теория разностных схем. М.: Наука, 1977.
- [17] BLANKENBACH B., BUSSE F. ET AL. A benchmark comparison for mantle convection codes // *Geophys J.* 1989. Int. 98. P. 23–38.

*Поступила в редакцию 19 ноября 2008 г.,  
в переработанном виде — 24 декабря 2008 г.*